

# TMCP 강재와 그 용접부의 강도특성

김 영 식

한국해양대학 선박기계공학과 교수



● 1944년생  
● 용접분야를 전공하였으며, 용접구조물의 강도와 파괴등에 관한 연구에 관심하고 있으며, 용사법에 의한 고강도 내식성 퍼막의 소재 개발에 관심을 가지고 있다.

## 1. 머리말

TMCP(thermo-mechanical control process) 강재는 제어압연과 제어냉각공정을併用하여 제조된 강재로서 最近 들어 선박이나 海洋構造物用 素材로서 각광을 받고 있다.

TMCP는 슬래브의 加熱과 热間壓延 및 冷却工程을 단지 形成工程으로서만이 아니고 加工, 热處理, 工程으로서 有効하게 이용하여, 基地조직을 微細化함과 아울러, 鋼의 強度, 鞍性의 向上을 달성하고자 하는 프로세스이다. 따라서 TMCP 鋼은 종래의 高强度鋼과는 달리 製造工程에서 高强度, 强靱化가 달성되기 때문에 同一强度 레벨의 종래의 鋼에 比해 炭素當量( $C_{eq}$ )을 낮게 유지할 수 있다.

따라서 TMCP 高張力 鋼板은 小入熱 熔接에 대한 耐龜裂性이나 大入熱 용접에 대한 热影響部(HAZ)의 鞍性等의 見地에서 熔接性(weldability)이 탁월한 것이 特徵이며, 또한 脆性 破壞의 見地에서도 우수한 特性을 나타낸다.

그러나 이 鋼材는 炭素當量이 낮기 때문에 大入熱 熔接을 實施하면, 热影響部가 약간 軟化하는 현상이 일어난다. 따라서 TMCP 高張力 鋼板을 有効하게 利用하기 위해서는 實構造物로서의 사용특성에 대한 確認檢討가 必要하다.

본 글에서는 現在 實用化되고 있는 50kg/mm<sup>2</sup>급 高張力 鋼材로서, 제어압연과 加速冷卻 効果를 加미시켜 製造되는 水冷型의 TMCP 鋼材를 中心으로 母材 및 熔接部에 대한 各種 特性을 종래의 압연 鋼材와 비교 考察하고 이 鋼材의 有効利用에 대해서 서술하고자 한다.

## 2. TMCP鋼 母材의 特性

종래의 압연강판과 TMCP鋼板의 압연프로세스를 模式的으로 表示하면 그림 1과 같다.

이 工程에 나타난 바와 같이 TMCP 鋼板은 종래 압연 鋼板의 압연 온도보다 再結晶溫度下限界域, Ar<sub>3</sub> 變態點直上의 未再結晶 減溫域 및 Ar<sub>3</sub> 變態點直下의 오스테나이트-페라이트二相共存域에서 정확한 압연온도 制御로 압연을 行하는 것이다. TMCP 鋼材는 非水冷(Non AcC)型과 압연종료 직후에 加速冷却을 行하는 水冷(AcC)型으로 大別된다.

이상과 같은 압연 工程의 特性으로 인해 TMCP方法은 비교적 낮은 炭素當量으로 所要의 強度와 鞍性을 갖는 高張力 鋼板의 製造가 可能하게 된다. 그림 2는 종래의 노말라이징 鋼材와 TMCP鋼材에 대해 炭素當量과 強度와의 關係를 나타낸 것이다.

이 그림에서 500MPa級 鋼의 製造에 있어서 途中水冷 정지형의 TMCP鋼材에서는 炭素當

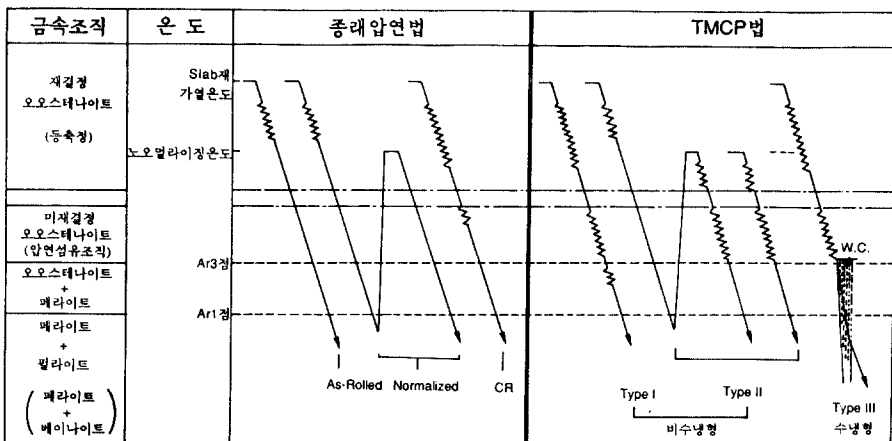


그림 1 강의 압연과정

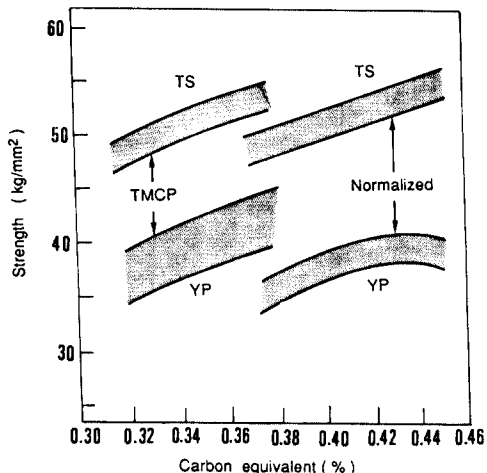


그림 2 탄소당량과 강도와의 관계

量을 0.04~0.08% 낮게 할 수 있고, 常溫까  
이까지 水冷하는 경우에는 同一레벨의 強度를  
얻는데 0.25%가까이까지 炭素當量을 낮출수가  
있다.

이러한 TMCP鋼材의 압연공정 및 炭素當量  
上의 특성으로 인한 長點과 問題點을 종래의  
鋼材와 비교하여 정리하면 표 1과 같이 나타낼  
수 있다.

또한 TMCP 高張力 鋼材는 同一强度 레벨  
의 종래의 鋼材에 비해 破壞 韌性이 크다. 그

림 3은 水冷型의 TMCP 鋼材에 대한 溫度에  
따른 限界 COD값의 變化를 나타낸 것이다.  
從來의 鋼材의 경우에 비하여 큰 限界 COD값  
을 보이고 있다.

그 밖에도, TMCP 高張力鋼板은, 脆性龜裂  
전파停止性能이 우수한 것이 特徵이다.

船體用 TMCP HT50 鋼板母材 L方向에 대  
해서 실시한 균열 전파부 幅 500mm의 標準  
溫度句配型 二重 인장試驗에 의해 구한 균열  
停止 韌性 値  $K_{ca}$ 와 溫度와의 關係를 그림 4  
에 나타내었다.

이 그림에서 알 수 있는 바와 같이 TMCP  
HT50鋼板은 水冷型(AcC型) 鋼板의 일부를  
제외하고는 노말라이징 處理를 行한 종래의 압  
연 鋼板보다도 脆性균열 전파정지 性能이 매우  
우수하다. 이와같이 TMCP鋼材에 있어서 균  
열 전파정지 性能이 우수한 것은 소위  
separation에 起因한 것으로 추정되고 있다.  
따라서 이러한 특성으로 인해 TMCP鋼材는  
crack arrestor로서 有効하게 이용될 수 있다.

### 3. 대입열 용접부의 軟化와 強度特性

실제 조선소등에서 응용되고 있는 용접법으  
로서는 퍼복아크 용접(SMAW), CO<sub>2</sub> 半自動

표 1 TMCP 鋼의 特性 및 施工上의 利得과 問題點

製 法	特 性	施工上의 利得과 問題點	
低炭素當量 ( $C_{eq}$ )	長點	(1) 熔接低溫균 열발생 감수 성의 低下  (2) 急冷熱 사이 클에 대한 韌 性劣化의 減 少	① 熔接예열 溫 度의 低下 또 는 不要 ② 非低水素系 熔接棒의 採用 ③ Short bead 制限의 緩和  ① 線上加熱 조 건의 緩和
	短點	(1) 大入熱 熔接 時의 HAZ의 軟化  (2) 母材의 dilu- tion에 의한 熔接金屬의 强度低下	① 大入熱 熔接 의 制限 ② $C_{eq}$ 의 下限 值 설정  ① 自動熔接 flux, wire 成分中의 合金 成分의 增加 ② $C_{eq}$ 下限值 의 설정
	長點	非性의 向上	大入熱 熔接의 入熱制限의 緩和
	短點	鋼板內部 應力 의 偏在	가스절단, 熔接 時의 变形 発生 과 그 교정
制御壓延과 急 冷	綜合的 特性	熔接性과 韌性의 向 上에 의한 母材의 기 본 성능 向上	高張力鋼 熔接 部의 實質적 성 능向上에 의한 안전성 증대

용접, 서브머지드아크 兩面용접, 일렉트로 슬래그용접, 일렉트로 가스 용접등이 이용되고 있다. 이를 용접법의 入熱量을 板두께와의 關係로 나타내면 그림 5와 같다. 大入熱 용접법으로서는 일렉트로 슬래그 용접, 일렉트로 가

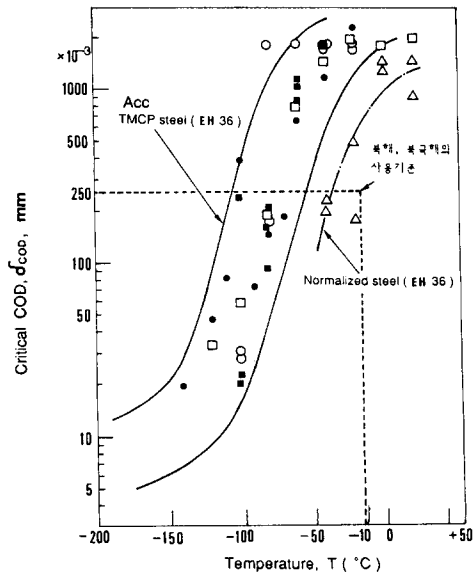


그림 3 TMCP강 모재의 COD시험결과

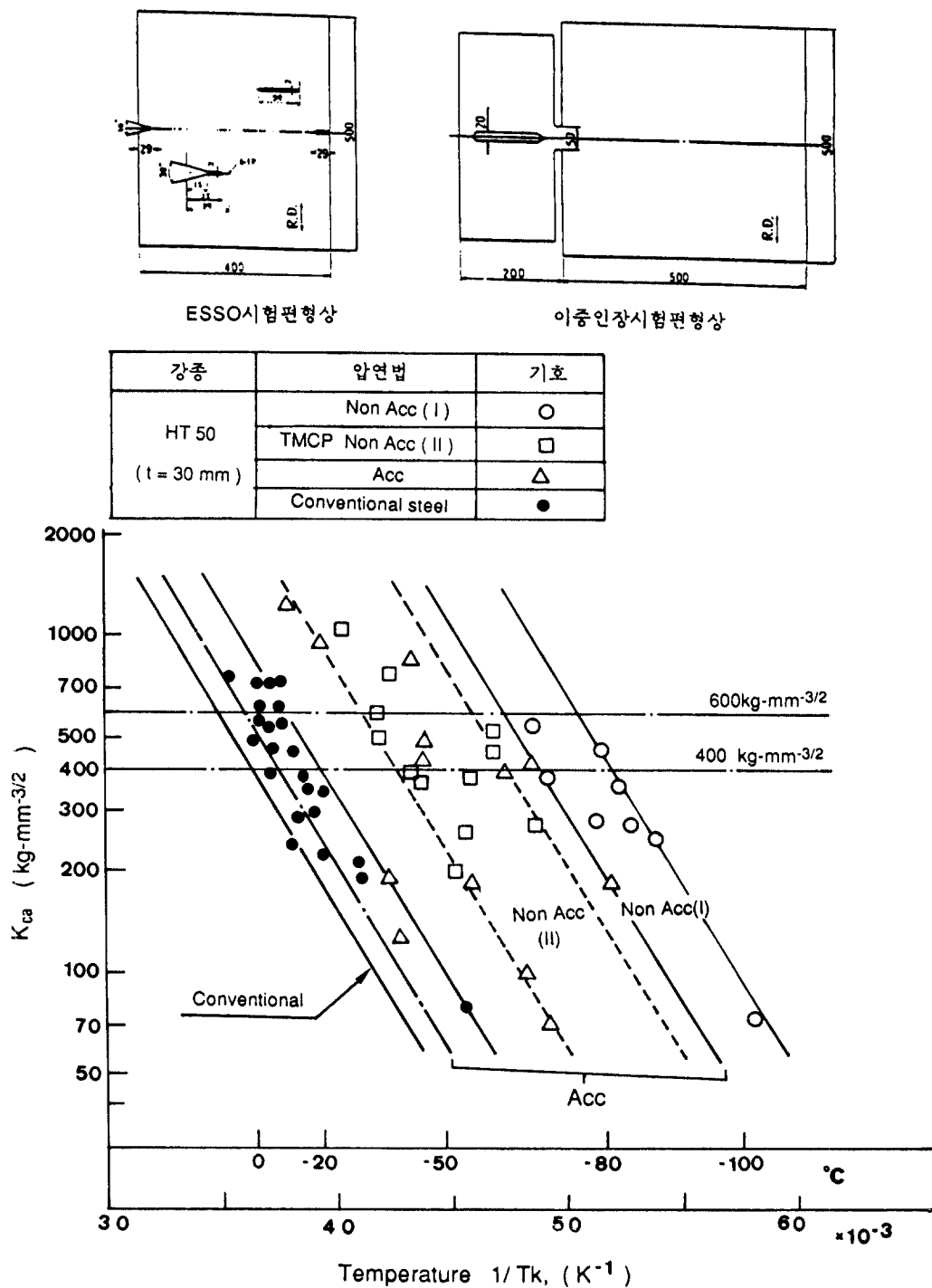
스 용접이 代表的인 方法이다.

TMCP 高張力 鋼板은 낮은  $C_{eq}$ 값 때문에 大入熱用접법을 적용하면 HAZ部에 軟化域이 생겨 이음부의 強度低下가 문제로 된다.

그림 6은 TMCP 鋼 熔接部의 인장강도를 試驗片 幅을 變化시켜 가며 求한 結果를 정리하여 나타낸 것이다. 이 그림에서 板幅 30mm 인 시험편에는 이음부의 強度는  $50\text{kg/mm}^2$  (항복점  $36\text{kg/mm}^2$  級 HT50 鋼板에 대한 最低強度)에 못미치지만,  $W/t$ 가 8이상으로 되면 이음매의 強度는  $50\text{kg/mm}^2$ 를 만족한다는 것이 밝혀지고 있다. 즉  $C_{eq}$ (IACS)값이 0.25%의 TMCP AcC HT50鋼板 大入熱用접이음부에서는 HAZ의 軟化 정도가 크고, 板幅이 좁은 시험편에서는 規格值를 만족할 수 없으나, 板幅이 크게되면 規格值를 만족하게 된다.

#### 4. 大入熱 熔接이음부의 破壞非性

船體用 TMCP HT50鋼板 대입열 용접이음부의 fusion line 部의  $-20^\circ\text{C}$ 에 있어서의

그림 4  $K_{ca}$  값과 온도와의 관계(선체용 TMCPHT50강)

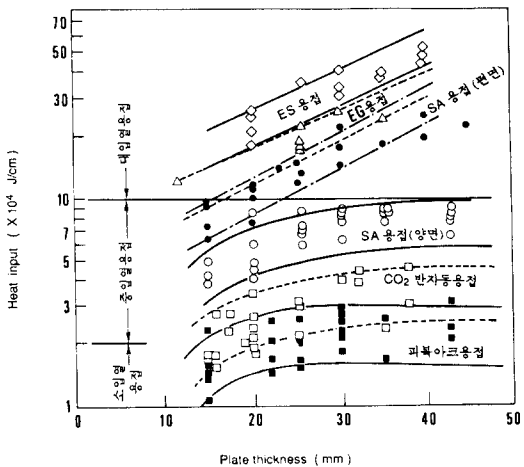


그림 5 용접입열과 판두께와의 관계

V-notch charpy 흡수 에너지( $vE_{-20}$ )와 용접入熱과의 관계를 그림 7에 나타내었다. Fusion line에서의  $vE_{-20}$ 값은 入熱이 增加함에 따라低下하여, 150kJ/cm 以下의 入熱에서는 大入熱 용접 對策材(V, Nb, Ti 첨가)와 非對策材의 差는 그다지 크지 않다. 그러나 大入熱 영역에서는 EH鋼의 規格值( $vE_{-20} \geq 3.5 \text{ kg f.m}$ )를 안전하게 確保하기 위해서는 大入熱 용접用對策材를 이용하는 것이 바람직하다.

또한 그림 8에는 従來 鋼을 포함해서 大入熱 熔接非對策材에 大入熱 熔接을 실시할 때의 fusion line部의 0°C에 있어서의 charpy값( $vE_0$ )

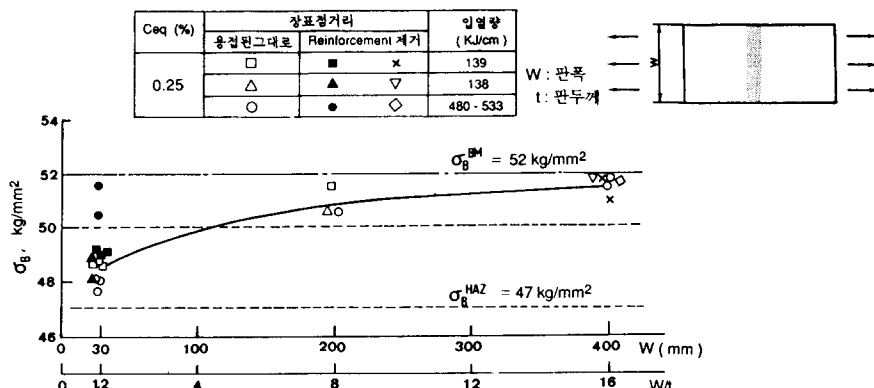
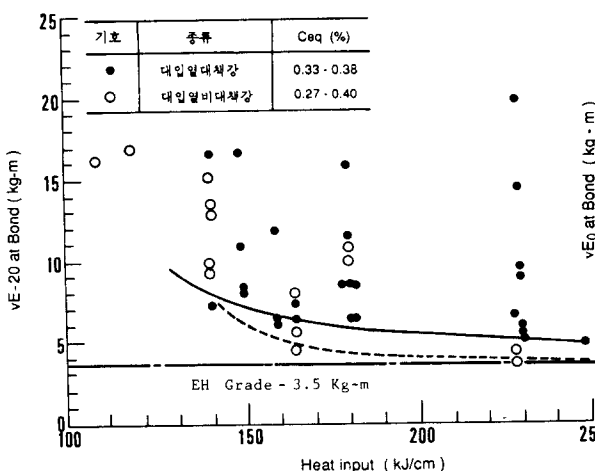
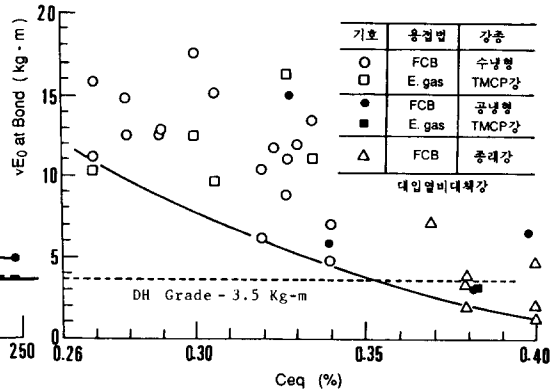


그림 6 TMCP강 용접부의 인장강도에 미치는 판폭의 영향

그림 7 TMCP강 대입열용접부 fusion line에서의  $vE_{-20}$ 과 입열량과의 관계그림 8 대입열용접부 fusion line부에서의  $vE_0$ 와  $Ceq$ 과의 관계(대입열 비대책강)

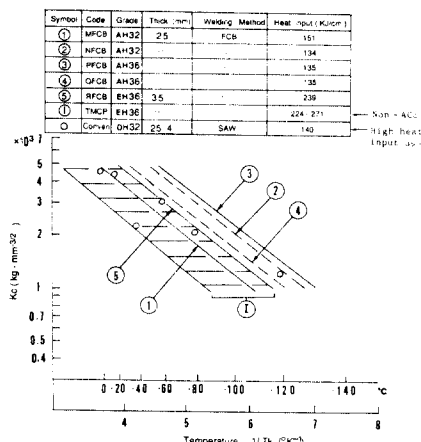


그림 9 대입열용접이음부의 중앙노치(판두께관통) 대형인장시험결과( $K_c$ 의 비교)

과  $C_{eq}$ 와의關係를 나타내었다.  $C_{eq}$ 값이 높은從來의鋼은 DH鋼의規格值( $vE_0 \geq 3.5 \text{kgf}\cdot\text{m}$ )를만족하고있지않지만,  $C_{eq}$ 값을低減시켜가면  $vE_0$ 값은높게되고, 加速冷却形TMCP鋼材에서는소위大入熱對策材가아니더라도規格值를만족하고있다.

그림 9는大入熱非對策TMCP鋼의大入熱熔接部의 fusion line部에 있어서의大形인장시험에의한破壞非性 $K_c$ 의측정결과이다.

여기에는從來의大入熱對策 압연鋼(C.P.S)板에대한 $K_c$ 값도함께표시되어있는데, 이결과에의하면供試TMCP鋼용접부는從來압연鋼板의 $K_c$ 값과거의同等한값을보이고있다. 따라서供試水冷型의TMCP 50kg/mm<sup>2</sup>급高張力鋼(大入熱熔接非對策鋼)의大入熱용접이음매의破壞非性은, 大入熱對策을실시한從來壓延型50kg/mm<sup>2</sup>급高張力鋼과같은용접이음매의破壞非性과거의等價라고하는것이판명되고있다.

### 5. 熔接이음부의 疲勞強度

TMCP AcC高張力鋼板은, 從來의 압연鋼板과비교하여일반적으로낮은 $C_{eq}$ 값을갖기

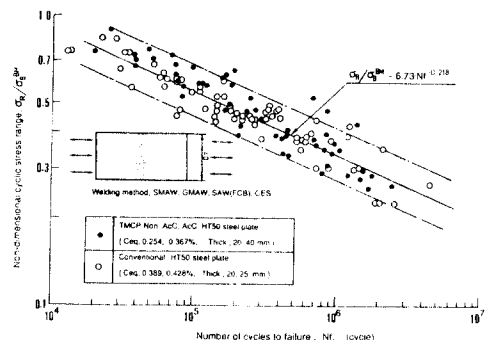


그림 10  $S-N_f(\sigma_R/\sigma_B^{BM} - N_f)$  선도(HT50 강판, 맞대기용접이음)

때문에, 그大入熱용접이음부의HAZ가軟化하는것은前述한바와같다. 이러한HAZ부軟化가용접이음부의피로강도에미치는影響에대해서記述하고자한다.

TMCP Non Acc/Acc HT50鋼板과종래의압연HT50鋼板의맞대응용접이음부의평활시험편(시험편幅40mm 또는50mm)에의한室溫大氣中에서의引張片振疲勞시험結果( $R=0$ 을包含)를그림10에나타내었다. 이그림의從軸은공칭응력범위( $\sigma_R$ )를모재의인장강도( $\sigma_B^{B,M}$ )로나눈무차원응력범위( $\sigma_R/\sigma_B^{B,M}$ )이다. 이그림에표시한바와같이, 열影響부가거의軟化를일으키지않는從來의압연HT50鋼板의이음부분이나軟化가일어나는TMCP AcC HT50鋼板의大入熱용접부나다같은범위내의데이터散亂을표시하고있어서, 피로강도면에서차이가나타나지않는다.

그림11은AcC TMCP鋼材( $C_{eq}=0.33$ )에대해서브머지드아크용접(H.I: 94kJ/cm)시의용접부의변형率制御형저사이클피로시험결과로서모재와용접부의破斷壽命基準低사이클피로수명곡선을나타내고있다. 이실험결과에의하면용접부의경우軟化현상으로인해母材의破斷壽命에비해최고1/3.5로低下하고있음을보이고있다.

또한이그림중에本實驗에서얻어진TMCP鋼材의最適疲勞曲線(母材의균열발

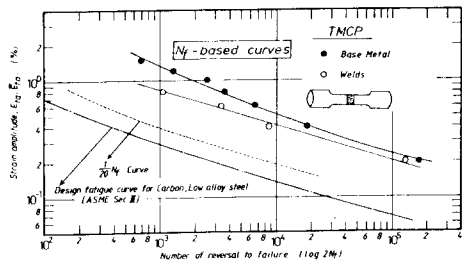


그림 11 TMCP강 모재 및 용접부의 저사이클피로수명의 비교

생기준 低사이클 疲勞壽命曲線)의 1/20Nc설계疲勞曲線(design fatigue curve)과 ASME Boiler and Pressure Vessel Code, See. III에서 인장강도 540MPa 以下의 鋼材에 대하여 적용되는 設計疲勞曲線을 함께 나타내었다.

이 그림에서 알 수 있는 바와같이 AcC TMCP 鋼材의 경우, HAZ部의 軟化로 인해 低사이클 피로수명은 母材에 비해 낮아지나, ASME 設計疲勞曲線보다 1/20Nc 最適疲勞設計曲線은 상당히 上方에 位置하고 있음을 나타내고 있어 TMCP鋼材의 HAZ部 軟化가 低사이클 피로수명에 별반 문제가 되지 않음을 알 수 있다.

다음에, TMCP Non AcC, AcC HT50 鋼材 大入熱 용접이음부 HAZ部에 따른 實溫大氣中에서의 疲勞균열 전파 試驗결과를 그림 12에 나타내었다. 또한 試驗에 이용한 試驗片은 HAZ部에 貫通 노치를 가공한 중앙노치材 평활시험편(試驗片 幅100mm 또는 140mm)이다. 이 그림에는 從來 압연 HT50 鋼材의 HAZ部에 따른 피로균열전파시험(시험편 幅100mm 또는 200mm)의 결과도 함께 표시되어 있다. 이 결과에 의하면, 모든 용접이음부분에서 HAZ部에 따른 疲勞균열 전파특성은 거의 같은 범위내에 들어있어 별로 차이가 없음을 보이고 있다.

즉 피로 설계적인 견지에서 보면, TMCP Non AcC, AcC HT50 鋼板 용접이음부의 HAZ部에 따른 疲勞 균열 전파특성은, 従來의

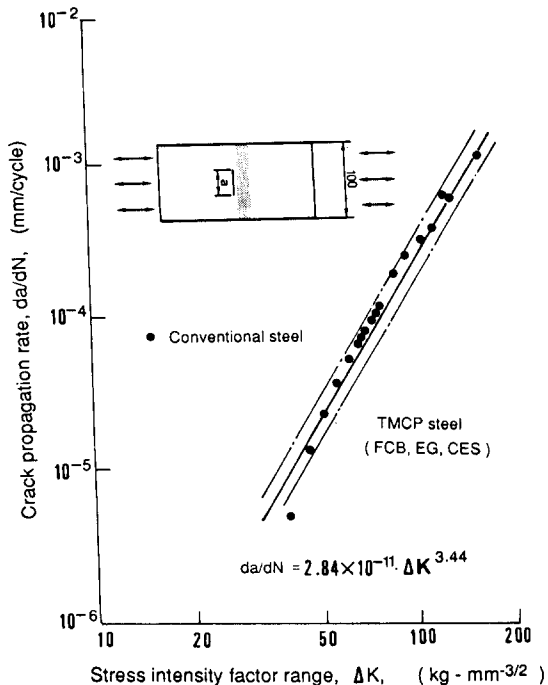


그림 12  $da/dN-K$  선도(HT50강판, 맞대기용접 열영 향부)

압연 HT50 鋼板 용접이음부의 HAZ에 따른 疲勞균열 전파특성과 同等한 정도라고 판단된다.

## 6. TMCP鋼材의 有効利用

### 6.1 造船用 鋼板

TMCP鋼板의 上述한 특징으로 인해 造船用 鋼板으로 利用時 從來의 鋼에 比해 갖는 利得으로서는, ① 용접예열의 省略, ② 非低水素系 용접봉의 채용, ③ short bead 制限의 완화등을 들수 있다.

특히 TMCP 鋼板은 crack arrestor性이 우수하여 crack arrestor로서의 有効利用이 검토되고 있다.

船體 構造를 비롯한 大型용접구조물의 crack arrestor에 요구되는 鞣性에 關해서는, 高速으로 전파하는 균열에 대한 動的 해석기술

이 確立되지 않으면 정확히 論할 수 없다. 그러나 靜的의기는 하지만 實構造物에서의 脆性 波高例의 逆解析 結果로부터, 균열전파부 幅 400~500mm정도의 시험편에 의해 求한  $K_{ca}$  값이 實構造物의 使用溫度에서

$$K_{ca} \geq 600 \text{kgf/mm}^2 / \text{mm}^2 \quad (1)$$

을 만족하면, crack arrestor는 有効하다고 생각되고 있다. 또한 大型 試驗片에 의한 脆性 균열전파 停止試驗結果에 의하면

$$K_{ca} \geq 400 \text{kgf/mm}^2 / \text{mm}^2 \quad (2)$$

을 만족하면 crack arrestor는 有効하다는 實驗結果도 報告되고 있다.

이러한 觀點에서 보면 TMCP 鋼材는 그림 4에서 나타난 바와 같이 이 조건을 충분히 만족하기 때문에 crack arrestor로서 有効하게 利用할 수 있음을 알 수 있다.

**6.2 海洋構造物, 氷海선박등의 低溫構造用鋼**  
低溫域에서 사용되는 해양구조물, 氷海船舶 등과 같은 高度의 品質을 要求하는 구조물에 용접열영향부의 硬化性이 작고 低溫非性이 우수한 特性을 갖는 TMCP鋼이 활용되어가고 있다.

북해, 북극해와 같은 寒冷地 해양구조물에 필요한 性能의 一例를 들면 다음과 같다.

(1) 우수한 低溫非性, 특히 용접이음부에 대한 破壞非性(-10°C에서 COD값이 0.25mm以上)

(2) 용접低溫균열이나 有害한 결합의 防止

(3) Lamellar tear防止를 위한 母材판두께 방향特성(판두께방향 引張試驗의 단면수축률이 20%以上, 鋼材中の S함량 0.007%以上)

(4) 사용중의 水素誘起에 의한 응력부식균열 방지를 위해 용접부의 最高硬度의 制限(Hv≤300)

前述한 바와 같이 TMCP鋼의 低炭素當量, 低 P<sub>cm</sub>化에 의해, 上記 4項目的 조건을 만족하고 있는 것이 지금까지의 TMCP鋼에 대한

實驗結果 밝혀지고 있다.

특히 사용중의 水素誘起로 因한 응력부식균열을 방지하기 위해 海洋構造物에서는 HAZ의 最高硬度를 규제하는 경우가 많다. 汚染海水中에는 유화수소가 어느정도의 농도로 존재하기 때문에, 유화수소 균열이 硬化된 용접토우(toe)부로부터 發生하는 경우가 있다. 따라서 탄소당량을 억제한 TMCP鋼에서는 예열없이도 HAZ부의 最高硬度를 300Hv이하로 할수있어서 종래의 압연鋼材에 비해 매우 낮게 유지할수 있다.

이와같이 寒冷地用 海洋構造物에 TMCP鋼을 이용한다는 것은, 이 鋼材가 갖는 特性으로 인해 매우 효과적이라고 할 수 있다.

### 6.3 라인 파이프用 鋼

파인 파이프用 鋼의 제조에 TMCP기술을 적용하게 되면, 性能向上이나 원가面에서 큰 利得이 있다. TMCP鋼材의 低 C化, 低 C<sub>eq</sub>化에 起因해서 HAZ 韌性이나 現地의 圓周 용접성이 크게 개선되기 때문이다.

低 C化的 또다른 利點은 中心偏析이 경감된다는 사실이다. 實驗결과에 의하면 탄소량이 0.05% 以下이면 Mn이나 P의 中心偏析이 크게 경감되어 耐水素誘起龜裂性이 크게 개선되기 때문에 NACE 환경(유화수소포화 5% NaCl-0.5% CH<sub>3</sub>COOH수용액)에서도 HIC(hydrogen induced cracking)이 발생치 않는 API grade 5LX-60이나 70鋼이 開發되어 있다.

### 6.4 기타 低溫用 鋼

LPG탱크 등의 低溫用鋼에 TMCP기술을 적용하는 것은 균일 徵細粒조직이 얻어지기 때문에 脆性균열 전파정지 特性的 비약적인 向上을 가져온다.

## 7. 맷 음 말

水冷型의 50kg/mm<sup>2</sup>級 TMCP 高張力 鋼材

를 중심으로, 이 鋼材 母材의 기계적 특성 및 용접부의 각종 사용특성에 관해 從來의 압연製法에 의한 同一强度레벨의 高張力鋼板과 비교하여 考察하고 이 鋼材의 有効利用에 대하여 설명하였다.

TMCP 高張力 鋼板은 탄소당량이 낮고 結晶粒 徵細化가 달성되기 때문에 破壞非性이나, 용접부의 耐脆化, 耐熔接鋼 열성 面에서 탁월한 특징을 가지나 용접조립시 용접열사이클로 인한 軟化현상 때문에 용접부의 사용특성이 문제로 될수 있다.

그러나 용접조건이나, 鋼板의 強度, 化學成分의 配慮, 선택에 따라 實用上 별로 문제가 되지 않음이 確認하고 있다.

이와같은 특징으로 인해 TMCP鋼은 造船用素材뿐만아니고, 북해, 북극해와 같은 寒冷氷海域의 가혹한 환경에서 작동되는 海洋構造物用이나 라인 파이프用 素材로서도 그 活用이 확대되어 갈 것으로 생각된다.

### 참 고 문 헌

- (1) 小溝, 1986, 鐵鋼新素材, TMCP 鋼の熔接部割わ感含性, 日本熔接學會誌, Vol.55 No.3
- (2) 1984, 日本造船研究協會, 第193研究部會: 新製法による50キロ級 高張力鋼の有効利用に關係研究.
- (3) 失島多田 外, 1986, "TMCP(新製御壓延)

型 高張力鋼板の船舶", 海洋構造物の有効利用, 三菱重工技報 Vol. 23, No. 4.

- (4) 1985, 日本造船研究協會, 第198研究部會, 總合報告書.
- (5) 한명수, 1989, TMCP鋼材 및 그 熔接部의 低사이클疲勞特性에 관한 研究, 韓國海洋大學 工學碩士學位論文, 1989.
- (6) 河野, 村山外, 1986, "鐵鋼新素材, TMCP鋼熔接部の使用性能", 日本熔接學會誌, Vol.55, No.6.
- (7) 井上, 多田, 平田 外, 1984, 新制御壓延(TMCP)型50キロ級高張力鋼熔接繼手部の疲勞強度とその評價, 西部造船學會會報 第67號.
- (8) 김영식, 한명수, 여육종, 1988, "가속냉각형 TMCP鋼材의 저사이클 피로특성에 관한 연구," 대한용접학회 1988年度 추계학술발표 개요집.
- (9) Kanazawa, T., Machida, S. and Yajima, H. et al., 1973, "Study on Brittle Crack Arrestor," Selected Paper, J. Soc. Nav. Archit, Japan, Vol. 11.
- (10) 失島, 三野, 1982, "船舶の脆性龜裂事故の解析例", 日本造船學會, 熔接研究委員會第一分科資料 1-550-82.
- (11) 1985, 日本造船研究協會 第193研究部會, 新製法による50キロ級 高張力鋼의 有効利用に関する研究, 總會報告書, 日本造船研究協會 報告 第100號.